Artículo de Investigación 🎇 🏲 🦳



Material suplementario

Tabla S1: Comparación de la incidencia con prueba de Friedman (ANOVA no paramétrico de dos vías para muestras dependientes: sexo (total, hombres, mujeres, mujeres reproductivas) y comunas (de Arica a Río Verde). Se comparan total vs mujeres y hombres (IT, IM, IH) (a) y mujeres vs mujeres en edad reproductiva (IM, IMRPR) (b).

a) $X^2_2 = 34.5 / p < 0.001$											
	Average		Sum of		Mean		Std.Dev.				
IT	2.00		691.0		5.44		21.75				
IM	2.13	2.13		737.0		6.48		25.09			
IH	1.86	86		642.0		4.00		17.08			
b) $X^2_1 = 24,1 / p < 0,001$											
		Average		Sum of		Mean		Std.Dev.			
IM		1.57		543.5		6.48	25	5.09			
IMRPR		1.424638		491.5		4.51	15	5.69			

Tabla S2. Intervalo etario, sobrevivencia (lx), fecundidad (TEF: tasa específica de fecundidad/oo) y valor reproductivo de la población (Vx)

EDAD	[x)	lx	TEF	Vx
0	5	1	0	1.088
5	10	0.976	0	1.088
10	15	0.971	0	1.088
15	20	0.960	11.9	1.088
20	25	0.937	43.7	1.031
25	30	0.924	59.7	0.827
30	35	0.921	63.8	0.551
35	40	0.919	43.2	0.257
40	45	0.917	11.8	0.059
45	50	0.913	1	0.005



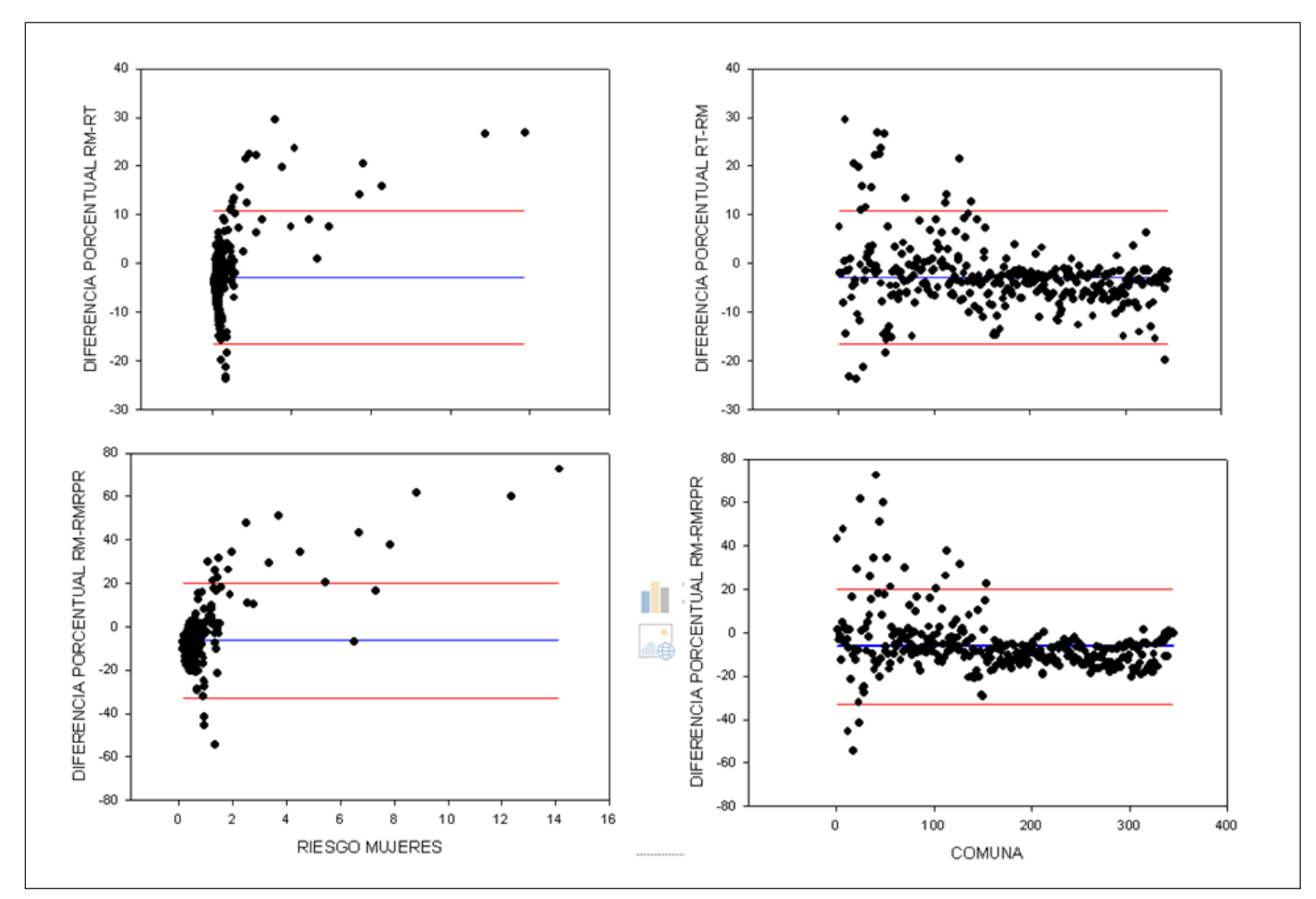


Figura S1. Diagrama de Bland-Altmann para comparación entre riesgo total y riesgo en mujeres. A la izquierda el diagrama fue desplegado sobre el referente (riesgo total) y a la derecha sobre las comunas. (Arriba) Diagrama de Bland-Altmann para comparación entre riesgo en mujeres y riesgo en mujeres en edad reproductiva. A la izquierda desplegado sobre el referente (riesgo mujeres) y a la derecha sobre las comunas. (Abajo).

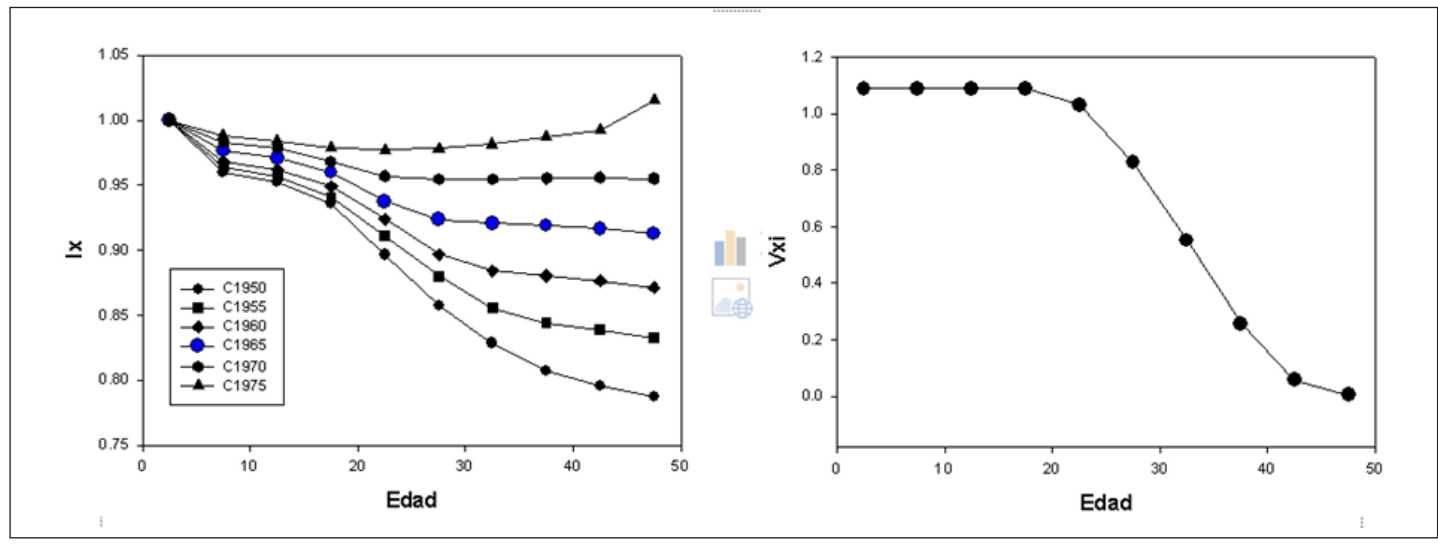


Figura S2. Evolución de la sobrevivencia de la población chilena para diferentes cohortes y valor reproductivo estimado basados en la cohorte de 1965.